

UNIVERSIDADE FEDERAL DE VIÇOSA

# Relatório da Tarefa de Trainee do setor de Desenvolvimento de Software da UFVision

Kayo de Melo Lage



Viçosa - MG  
23 de dezembro de 2025

# Sumário

<b>1</b>	<b>Introdução</b>	<b>2</b>
1.1	Motivação . . . . .	2
1.2	Ferramentas Utilizadas . . . . .	3
<b>2</b>	<b>Metodologias utilizadas</b>	<b>4</b>
2.1	Abordagens utilizadas para lidar com as cores . . . . .	4
2.1.1	Espaço de cor . . . . .	4
2.1.2	Equalização do brilho da imagem . . . . .	4
2.1.3	Filtragem de Ruído . . . . .	4
2.1.4	Subtração de Máscaras . . . . .	5
2.2	Abordagens utilizadas para lidar com a concorrência . . . . .	6
2.2.1	Arquitetura Produtor-Consumidor e Sincronização . . . . .	7
2.2.2	Arquitetura de Execução e Sincronismo . . . . .	7
2.3	Abordagens utilizadas para lidar com os movimentos do drone	8
<b>3</b>	<b>Resultados</b>	<b>10</b>
3.1	Eficácia do Processamento de Máscaras . . . . .	10
3.1.1	O Filtro "Guloso" e a Separação Cromática . . . . .	11
3.1.2	Diferenciação de Tons Escuros . . . . .	12
3.2	Desempenho da Navegação . . . . .	13
<b>4</b>	<b>Conclusões</b>	<b>14</b>
4.1	Possíveis melhorias e trabalhos futuros . . . . .	14
<b>5</b>	<b>Entregável</b>	<b>16</b>
<b>6</b>	<b>Documentação e Materiais de Apoio</b>	<b>17</b>



## Capítulo 1

# Introdução

O desenvolvimento de Veículos Aéreos Não Tripulados (VANTs) tem avançado significativamente com a integração de sistemas de Visão Computacional, permitindo que aeronaves realizem tarefas complexas de forma autônoma. Este documento detalha o desenvolvimento de um sistema de controle de voo baseado em estímulos visuais cromáticos, realizado como parte do processo de trainee do setor de Desenvolvimento de Software da equipe UFVision.

O projeto consiste na implementação de um pipeline completo que abrange desde a calibração da câmera, a captura e processamento de imagens em tempo real até a conversão desses dados em comandos de navegação via protocolo MAVLink. A solução proposta busca unir robustez no processamento de imagem com uma lógica de controle segura, garantindo que o drone responda de forma precisa a cartões coloridos apresentados à sua câmera.

### 1.1 Motivação

A motivação primordial deste projeto reside na necessidade de criar interfaces de controle alternativas e intuitivas para sistemas autônomos. Em cenários de competição de VANTs, como os enfrentados pela equipe UFVision, a capacidade de navegar e tomar decisões baseadas em marcadores visuais no ambiente é fundamental.

O desafio técnico de mapear um conjunto limitado de cores (6 tons) para uma gama ampla de movimentos (10 comandos) motivou a criação de uma *Máquina de Estados de Alternância (Toggle State Machine)*. Esta abordagem não apenas otimiza o uso do espectro de cores disponível, mas também exercita a capacidade de abstração lógica e concorrência de processos, competências vitais para o desenvolvimento de software embarcado em drones de alto desempenho.



## 1.2 Ferramentas Utilizadas

Para a viabilização deste projeto, foi selecionado um conjunto de ferramentas amplamente utilizadas na indústria e na academia, priorizando a modularidade e a facilidade de integração:

- **Python:** Linguagem base devido ao seu vasto ecossistema de bibliotecas para manipulação de imagens e para controle do drone.
- **OpenCV (Open Source Computer Vision Library):** Utilizada para a captura de vídeo, conversão de espaços de cor (BGR para HSV) e filtragem morfológica inicial.
- **Scikit-Image:** Empregada para o processamento avançado de máscaras, especificamente na rotulagem e filtragem de componentes conexos por área, garantindo que ruídos de fundo sejam ignorados.
- **ArduPilot SITL (Software In The Loop):** Simulador de voo que permite testar o código de controle em um ambiente virtual idêntico ao hardware real, mitigando riscos de quedas durante o desenvolvimento.
- **MAVLink & PyMavlink:** O protocolo MAVLink foi utilizado para a comunicação bidirecional entre o script de controle e o drone. A biblioteca `pymavlink` permitiu o envio de comandos de baixo nível, como `SET_POSITION_TARGET_LOCAL_NED`, e a leitura de telemetria em tempo real.
- **Tkinter:** Utilizada para o desenvolvimento de uma interface de emergência (*Kill Switch*), garantindo um mecanismo de pouso imediato operado por thread independente.



## Capítulo 2

# Metodologias utilizadas

### 2.1 Abordagens utilizadas para lidar com as cores

O cerne desta seção reside na distinção de cores em ambientes complexos, onde a proximidade cromática exigiu um tratamento diferenciado. Estruturamos um fluxo de processamento robusto a ruídos e variações de iluminação que poderiam comprometer a lógica de controle. Esse processo envolveu o refinamento das máscaras por meio de operações de pós-processamento e a aplicação de limiares (thresholds) de área customizados para cada classe detectada. As subseções a seguir detalham as técnicas e parâmetros utilizados.

#### 2.1.1 Espaço de cor

Embora espaços como RGB, YUV e LAB tenham sido testados, o espaço HSV (Hue, Saturation, Value) foi selecionado por sua capacidade de isolar a informação de cor (matiz) da intensidade luminosa. Isso permitiu definir faixas de threshold mais estáveis para cores críticas como o Marrom e o Preto, cujos valores de brilho costumam oscilar significativamente.

#### 2.1.2 Equalização do brilho da imagem

Para mitigar sombras e reflexos, implementamos o CLAHE (*Contrast Limited Adaptive Histogram Equalization*) [6] no canal V (Value) do HSV. Diferente da equalização global, o CLAHE atua em pequenas regiões (*tiles*), preservando detalhes e garantindo que a detecção de cores escuras (como o Marrom) não fosse prejudicada por pontos de luz excessiva no frame.

#### 2.1.3 Filtragem de Ruído

O pipeline de limpeza de máscaras utiliza três camadas de proteção:



- **Median Blur:** Um kernel de  $7 \times 7$  para suavizar o frame original antes da binarização.
- **Operações Morfológicas:** Abertura (para eliminar poeira e pixels isolados) e Fechamento (para tapar buracos internos nos objetos detectados).
- **Filtragem por Componentes Conexos (CC):** Foi implementada a remoção de objetos por área utilizando `skimage.measure.label`. Apenas "blobs" com área entre os limites definidos (ex:  $>30.000$  pixels) são considerados válidos, ignorando qualquer interferência de fundo.

#### 2.1.4 Subtração de Máscaras

Devido à proximidade espectral entre certas cores, utilizamos uma lógica de subtração booleana:

- A máscara de **Marrom** é obtida subtraindo-se as máscaras de Vermelho, Azul e Amarelo.
- A máscara de **Preto** sofre a subtração da máscara final de Marrom para evitar confusão entre tons escuros.
- O **Laranja** funciona como um "filtro guloso". A lógica implementada no módulo `vision.py` subtraiativamente as máscaras das outras cores primárias (Amarelo, Vermelho e Azul) da detecção inicial do Laranja. Isso garante que a máscara final contenha apenas os pixels exclusivos da faixa alaranjada, sem contaminações de matizes adjacentes no espectro HSV.

A Figura 3.1 ilustra o resultado visual dessa abordagem, demonstrando como o limiar HSV adotado captura várias cores





(a) Laranja capturando Amarelo



(b) Laranja capturando Vermelho



(c) Laranja capturando Azul



(d) Filtro Laranja Isolado

Figura 2.1: Representação da lógica "gulosa" para a cor Laranja.

## 2.2 Abordagens utilizadas para lidar com a concorrência

O sistema foi desenhado utilizando multi-threading para garantir a segurança e a fluidez do voo:

- **Thread de Visão:** Responsável pela execução ininterrupta do loop de captura e processamento do OpenCV. Os comandos detectados são inseridos em uma `queue`. Queue thread-safe, que serve como ponte de comunicação com o loop principal.
- **Thread de Telemetria:** Realiza a escuta ativa das mensagens `LOCAL_POSITION_NED` via MAVLink. Esta thread atualiza constantemente uma fila circular (`deque`) com as coordenadas ( $x, y, z$ ) do drone, permitindo que o controlador tenha feedback posicional em tempo real para o cálculo de incrementos.
- **Thread de Emergência:** Opera uma interface gráfica independente em Tkinter. Por rodar em um fluxo separado, ela garante que o comando de pouso imediato (*Kill Switch*) tenha prioridade máxima de execução, sendo



capaz de interromper manobras em curso caso o evento de emergência seja acionado.

### 2.2.1 Arquitetura Produtor-Consumidor e Sincronização

A interação entre as threads de execução foi estruturada seguindo o padrão de projeto **Produtor-Consumidor**, um problema clássico de computação concorrente formulado originalmente por Edsger W. Dijkstra [1]. Esta arquitetura é essencial para desacoplar a frequência de captura visual da frequência de execução física do drone.

- **Produtor (Thread de Visão):** Esta thread atua produzindo objetos de comando a partir da análise cromática dos frames capturados. Ela alimenta continuamente um buffer compartilhado, independentemente de o drone estar em movimento ou em repouso.
- **Buffer Compartilhado (command\_queue):** Implementado através de uma `queue.Queue`, este componente atua como o mediador entre as threads. Por ser uma estrutura inherentemente *thread-safe*, ela gerencia internamente os mecanismos de trava (*locks*) e condições de espera, prevenindo condições de corrida (*race conditions*) no acesso aos comandos.
- **Consumidor (Thread Principal):** O loop principal do sistema atua como o consumidor, realizando chamadas bloqueantes à fila através do método `get()`. O consumidor aguarda a disponibilidade de um novo comando para então processar a lógica de estados e os incrementos de posição via MAVLink.

Esta separação garante que o processamento pesado de imagens (OpenCV) não cause latência na thread de controle, permitindo que a telemetria seja lida e processada em paralelo à identificação de novos alvos visuais.

### 2.2.2 Arquitetura de Execução e Sincronismo

Diferente dos módulos de percepção e telemetria, o **Executor de Movimentos** opera na thread principal do sistema. Esta escolha de design foi feita para garantir o sincronismo das manobras: como a função `move_increments` é bloqueante, o sistema só processa um novo comando da `command_queue` após a conclusão total da trajetória anterior.



Essa abordagem evita a sobreposição de comandos MAVLink e garante que a máquina de estados de alternância só inverta o estado após a confirmação física do deslocamento, utilizando a thread de telemetria apenas como fonte de dados passiva para o controle em malha fechada.

Ou seja, com o objetivo aqui era fazer uma fila de comandos não interrompíveis, não havia uma necessidade da criação de uma thread apenas para os movimentos

### 2.3 Abordagens utilizadas para lidar com os movimentos do drone

Os movimentos não são enviados como comandos únicos de longa distância, mas sim processados pela função `move_increments`. O deslocamento solicitado é dividido em pequenos passos de no máximo 0,5m. O sistema só envia o próximo passo quando a telemetria confirma que o drone atingiu a posição intermediária anterior, dentro de uma tolerância de 0,1m, garantindo uma trajetória suave e controlada.

Quanto aos movimentos, como foram dadas 6 cores para 10 movimentos possíveis, não seria viável um mapeamento direto de 1 para 1. Nesse sentido, foi escolhido um mapeamento baseado em uma **Máquina de Estados de Alternância** (*Toggle State Machine*).

Nesta abordagem, as cores de navegação funcionam como interruptores que alternam o sentido do movimento a cada nova detecção válida. O sistema armazena o estado atual de cada cor (0 ou 1), invertendo a direção do comando sempre que a mesma cor é apresentada novamente. Isso permite cobrir os dois sentidos (positivo e negativo) dos eixos de translação e rotação utilizando a mesma cor.

As cores críticas (Laranja e Marrom) foram mantidas como comandos absolutos (sem alternância) para garantir a segurança das operações de Pouso e Decolagem. A Tabela 2.3 detalha a lógica implementada:

Cor	Estado 0 (1ª Detecção)	Estado 1 (2ª Detecção)
Azul	Avançar (+1m)	Retroceder (-1m)
Vermelho	Deslocar p/ Esquerda (+1m)	Deslocar p/ Direita (-1m)
Amarelo	Subir (+1m)	Descer (-1m)
Preto	Girar Horário (+90°)	Girar Anti-horário (-90°)
Laranja	Pousar	Pousar
Marrom	Decolar	Decolar

Tabela 2.1: Mapeamento de Cores e Lógica de Alternância de Estados



Quanto a escolha pela utilização de **Posição Relativa Local**, em detrimento de coordenadas globais (GPS), fundamenta-se na natureza da operação e na necessidade de precisão em curta distância. Visto que os comandos são derivados de estímulos visuais imediatos, é mais robusto e intuitivo comandar o drone para deslocar-se a partir de sua localização atual em vez de calcular coordenadas geográficas absolutas.

Esta abordagem permite que o sistema opere utilizando o referencial **LOCAL\_NED** (North-East-Down), onde a origem é o ponto de decolagem. Ao optar por deslocamentos relativos, a função `move_increments` consegue fractionar a trajetória de forma mais estável, minimizando erros acumulados de telemetria e permitindo que o drone mantenha a navegabilidade mesmo em ambientes onde o sinal de GPS possa ser degradado ou inexistente. Além disso, o uso de posições relativas simplifica a lógica da Máquina de Estados, pois cada transição de estado (0 para 1) requer apenas a inversão do sinal do incremento métrico, independentemente da posição absoluta do drone no mapa.



## Capítulo 3

# Resultados

O sistema foi validado em ambiente de simulação, demonstrando alta precisão na identificação cromática e na execução de trajetórias. A integração entre o processamento de imagem em tempo real e o controle de voo permitiu uma resposta ágil aos estímulos visuais apresentados.

### 3.1 Eficácia do Processamento de Máscaras

A aplicação do pipeline de visão — composto por equalização CLAHE, desfoque mediano, operações morfológicas e filtragem por componentes conexos — resultou em máscaras binárias extremamente limpas, mesmo em condições de iluminação variável no simulador.

Abaixo, descrevemos o impacto das operações realizadas:

- **Redução de Ruído:** O uso do `BLUR_KERNEL = 7` eliminou cintilações de pixels isolados que poderiam gerar comandos falsos.
- **Operações Morfológicas:** Foi utilizado operações morfológicas de abertura para limpar pequenos ruídos e de fechamento para tornar as máscaras um pouco mais sólidas
- **Filtro de Área:** A configuração do `THRESHOLD_AREA_MIN_REMOVE_CC = 30000` garantiu que apenas o objeto de interesse (a folha colorida) fosse processado, descartando elementos do cenário que possuíam matizes semelhantes.
- **Mosaico de Debug:** A ferramenta de visualização desenvolvida permitiu monitorar simultaneamente o frame original e as seis máscaras, facilitando a calibração dos intervalos HSV em tempo real.



### 3.1.1 O Filtro "Guloso" e a Separação Cromática

Devido à proximidade dos tons de Laranja, Vermelho e Amarelo no canal *Hue* do espaço HSV, implementou-se uma lógica de subtração "gulosa" no módulo *vision.py*. Esta abordagem é necessária pois o limiar adotado para o Laranja frequentemente captura componentes de matizes adjacentes e opostos, como o Vermelho, Amarelo e Azul.

Para resolver este conflito, o sistema processa as máscaras das cores primárias primeiro e, em seguida, as subtrai da máscara bruta do Laranja, garantindo a exclusividade do sinal. A Figura 3.1 demonstra a eficácia desta isolação.

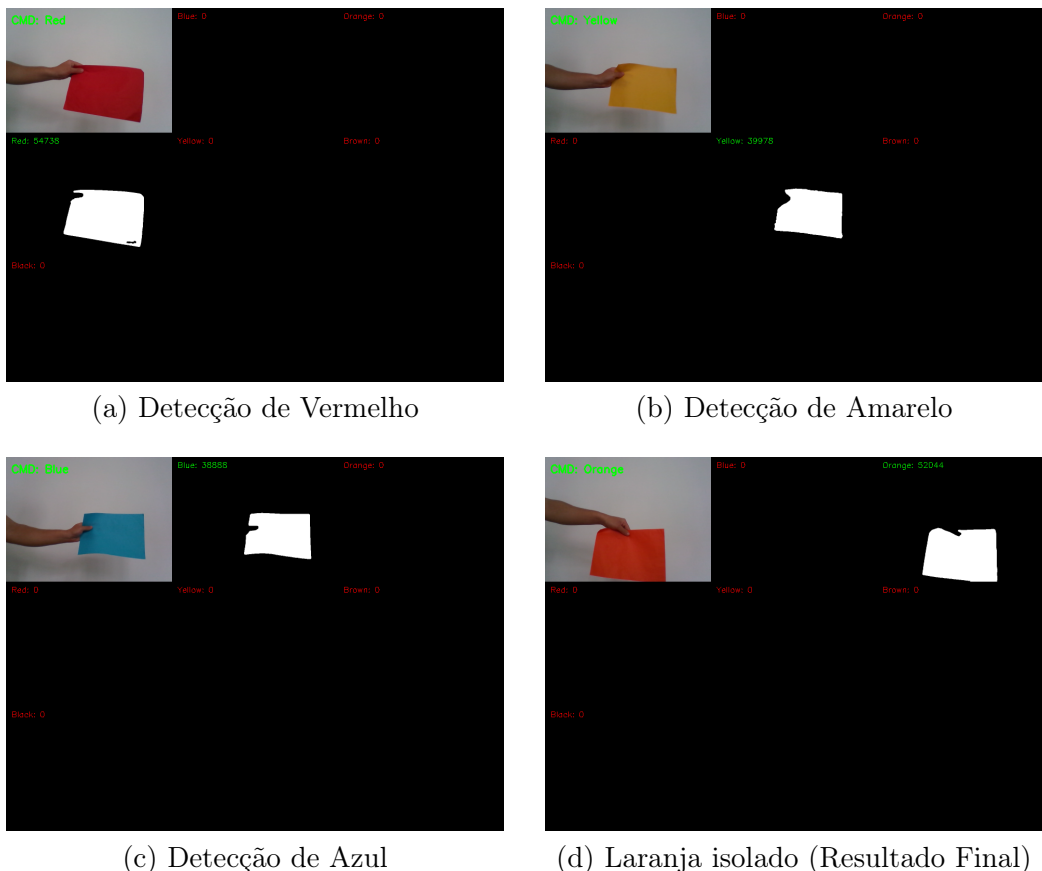


Figura 3.1: Resultados da separação cromática e aplicação da lógica de subtração para isolamento do Laranja



### 3.1.2 Diferenciação de Tons Escuros

A distinção entre o Preto e o Marrom representou um desafio técnico significativo devido à sobreposição de ambos nos espectros de baixa luminosidade (Value) e saturação no espaço HSV. Para mitigar o risco de comandos falsos, o sistema utiliza uma lógica de dependência onde a máscara final de Preto subtrai a máscara resultante do Marrom, assegurando a prioridade da detecção de decolagem.

Nesse contexto, o parâmetro `EhPraFazerAbertura` e os thresholds de pixels desse par de cores, funcionam como um mecanismo de robustez configurável de acordo com o ambiente de captura:

- **Processamento do Marrom:** Esta máscara é processada prioritariamente para remover interferências de tons quentes (Vermelho e Amarelo) e frios (Azul). Caso o ambiente de captura possua muitos objetos **pretos** de fundo, recomenda-se configurar `EhPraFazerAbertura=False` para o Marrom. Isso preserva a densidade original da máscara, garantindo que o sinal da decolagem não seja degradado por filtragens excessivas em cenários ruidosos.
- **Processamento do Preto:** A máscara de Preto é processada de forma a permitir a subtração da máscara de Marrom. Conforme documentado, se houver muitos objetos **marrons** no fundo, deve-se utilizar `EhPraFazerAbertura=False` para o Preto. Essa configuração evita a perda de densidade na máscara de Preto após a subtração do Marrom, mantendo a integridade do sinal de rotação (*Yaw*) mesmo em ambientes cromaticamente complexos.
- **Robustez via Threshold:** Em ambos os casos, o ajuste desse parâmetro permite criar máscaras mais "agressivas" ou "conservadoras". Quando a abertura é desativada para manter a densidade, a sensibilidade do sistema é equilibrada através do ajuste dos limites de pixels (`THRESHOLD_BLACK` e `THRESHOLD_BROWN`) no arquivo `settings.py`.

Para o ambiente de captura usado os limiares de ativação definidos no `settings.py` foram estabelecidos em 50.000 pixels para o Marrom e 30.000 pixels para o Preto. Adicionalmente, o sistema utiliza a remoção de componentes conexos com área inferior a 30.000 pixels para ignorar objetos que não correspondam ao alvo de interesse. A Figura 3.2 ilustra o resultado final desta separação.



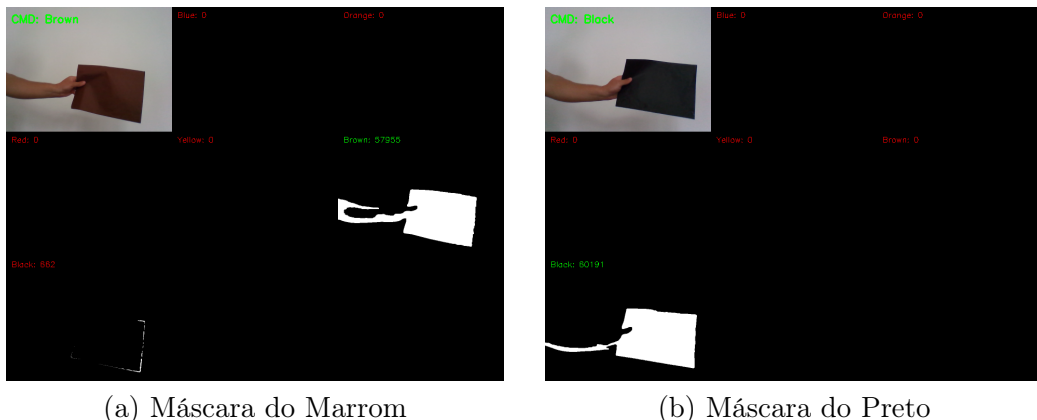


Figura 3.2: Separação de tons escuros através de subtração mútua e ajustes morfológicos específicos.

### 3.2 Desempenho da Navegação

O executor de comandos demonstrou estabilidade ao utilizar a técnica de movimentos incrementais de 0,5m. A latência entre a apresentação da cor e o início do movimento foi minimizada pelo uso de threads independentes, mantendo a telemetria sempre atualizada no *deque* para correções instantâneas de posição.



## Capítulo 4

# Conclusões

### 4.1 Possíveis melhorias e trabalhos futuros

Embora o sistema tenha atingido os objetivos propostos para o ambiente de simulação, foram identificadas oportunidades de evolução para aumentar a confiabilidade em cenários reais e ruidosos:

- **Robustez de Tons Escuros via Deep Learning:** A detecção baseada puramente em espaços de cor (HSV) e geometria de componentes conexos apresenta limitações significativas em ambientes com sombras projetadas ou fundos texturizados. Um trabalho futuro promissor seria a integração de redes neurais leves, como a *YOLOv8-tiny* ou *MobileNet*, treinadas especificamente para reconhecer os cartões como objetos, tornando a detecção independente da variação cromática do ambiente.
- **Calibração Automática de Thresholds:** Implementar uma rotina de calibração inicial ("Handshake") onde o drone, antes da decolagem, analisa o histograma do ambiente e ajusta dinamicamente os valores de `THRESHOLD_BLACK` e `THRESHOLD_BROWN`. Isso permitiria que o sistema se adaptasse a diferentes níveis de iluminância sem a necessidade de alteração manual no código.
- **Filtragem Temporal de Comandos:** Para evitar que ruídos momentâneos disparem comandos falsos, pode-se implementar um filtro de mediana temporal na `command_queue`. Em vez de reagir a um único frame positivo, o sistema exigiria que a cor fosse detectada consistentemente em  $N$  frames consecutivos antes de validar o movimento.
- **Suavização de Trajetória com Filtro de Kalman:** A integração de um Filtro de Kalman na leitura das mensagens `LOCAL_POSITION_NED` permitiria uma estimativa de posição mais estável. Isso reduziria as oscilações



causadas por pequenas imprecisões da telemetria durante os cálculos de erro na função `move_increments`.



## Capítulo 5

# Entregável

Os códigos utilizados neste trabalho, bem como o arquivo `README.md`, instruções de uso e o relatório técnico, estão disponíveis no repositório público do projeto no GitHub [3].



## Capítulo 6

# Documentação e Materiais de Apoio

Para o desenvolvimento deste projeto, foram consultados os seguintes materiais técnicos e guias fornecidos pela equipe UFVision:

- **SITL e Gazebo:** Guia prático para integração de ambiente de simulação ArduPilot e Gazebo (Documento interno UFVision).
- **Processamento de Imagem:** Documentação oficial da biblioteca OpenCV [5] e Scikit-Image [2].
- **Comunicação MAVLink:** Referência da biblioteca Pymavlink [4].
- **Fundamentos de Concorrência:** Teoria de processos cooperantes [1].



# Referências Bibliográficas

- [1] Edsger W. Dijkstra. Cooperating sequential processes. *Technological University, Eindhoven, The Netherlands*, 1965. Reprinted in F. Genuys (Ed.), Programming Languages, Academic Press, 1968.
- [2] Scikit image contributors. Scikit-image: Image processing in python, 2025. Acessado em: 23 de dezembro de 2025.
- [3] Kayo de Melo Lage. *Documentação Técnica UFVision: Módulo de Visão e Controle*, 2025. Scripts: calibra.py, vision.py, settings.py, controller.py e main.py.
- [4] ArduPilot Project. Pymavlink documentation, 2025. Acessado em: 23 de dezembro de 2025.
- [5] OpenCV team. Opencv library documentation, 2025. Acessado em: 23 de dezembro de 2025.
- [6] Karel Zuiderveld. Contrast limited adaptive histogram equalization. In *Graphics gems IV*, pages 474–485. Academic Press Professional, Inc., 1994.



23 de dezembro de 2025

Obrigado pelo Trainee Equipe UFVision

**Assinatura:**

**Kayo de M. Lage**  
*Trainee da equipe de Desenvolvimento de Software*

